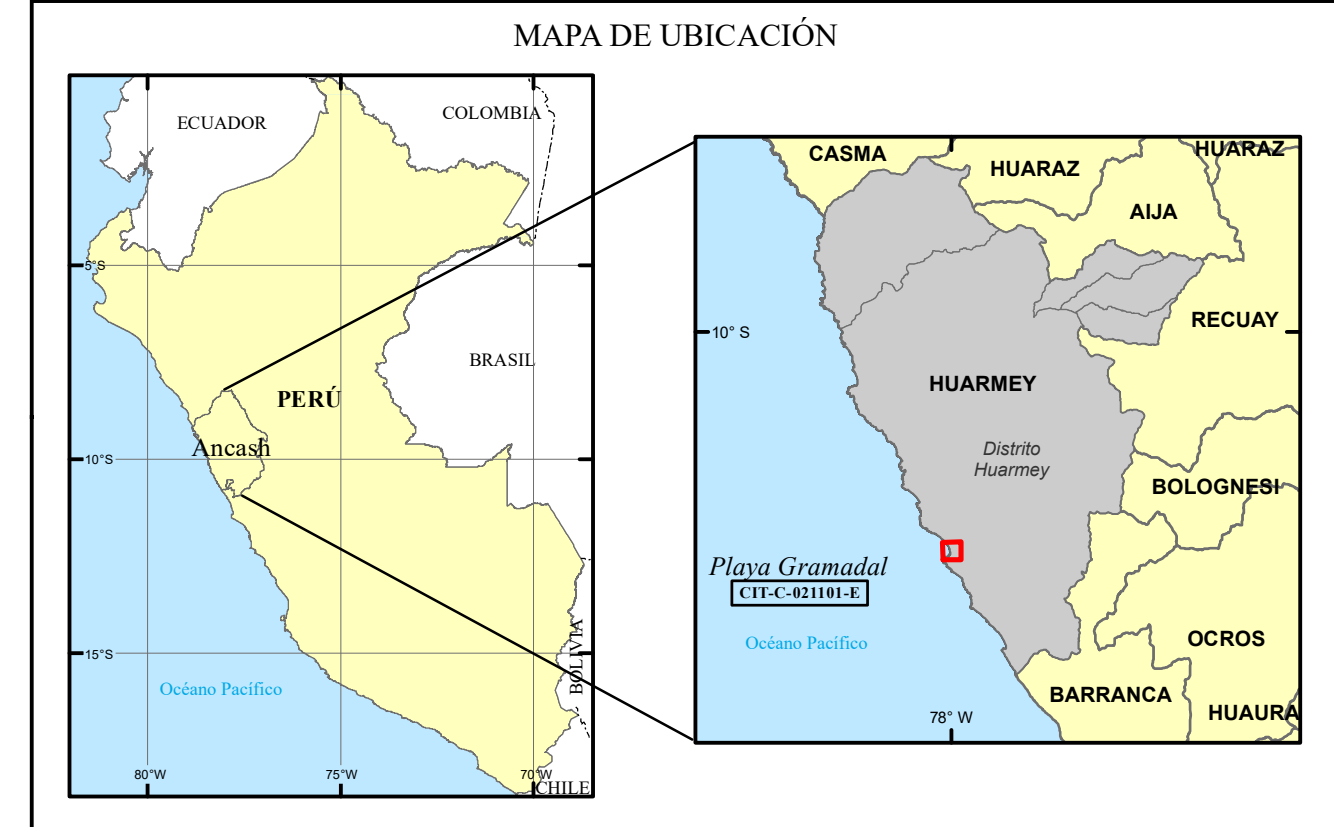
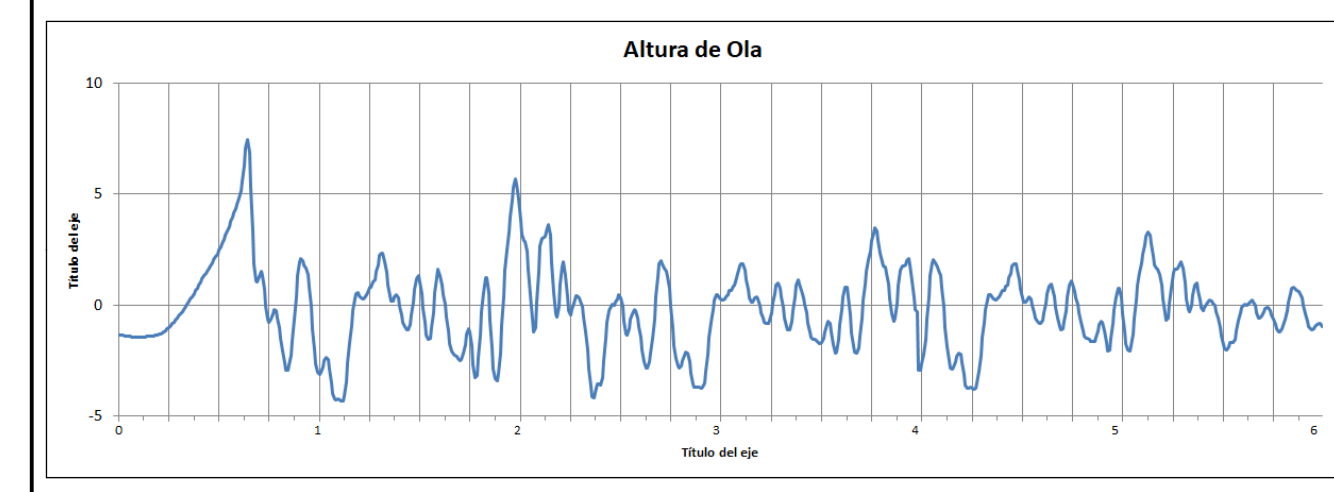


CARTA DE INUNDACIÓN EN CASO DE TSUNAMI PLAYA GRAMADAL - ANCASH

Elaborado por la Dirección de Hidrografía y Navegación
 Levantamiento Taquimétrico y Batimétrico, agosto 2023
 Datum: WGS84
 Proyección: UTM Zona 17 Sur
 Escala: 1:50000
 Año: 2023



ALTURA DEL TSUNAMI PARA UN EVENTO SÍSMICO DE 9.0 Mw EN LA PLAYA GRAMADAL- ANCASH



El gráfico representa la variación del nivel del mar debido al tsunami. No se considera el efecto de la marea. La posición del mareógrafo simulado está representada en la carta de inundación por la siguiente simbología:

▲ Mareógrafo simulado

LEYENDA

	Zona inundable ante tsunami generado por un evento sísmico de 9.0 Mw		Zona inundable ante tsunami generado por un evento sísmico de 8.5 Mw
	Rutas de Evacuación		Zona de Refugio
	Zona no inundable		Zona Rural
	Zona Urbana		Arena
	Dunas de arena		Curvas de Nivel
	Vía Panamericana		Vías Secundarias
	Colegio		Hospital
	Municipalidad		Iglesia

METODOLOGÍA

La determinación del límite de máxima inundación en caso de maremotos se obtiene considerando aspectos oceanográficos, tales como: altura y dirección de olas, además de información de las características geomorfológicas, pendiente, batimetría y topografía de las zonas de evaluación.

Esta información es complementada con datos catastrales que proporcionan las municipalidades, a fin de evaluar e identificar las vías de evacuación y zonas de refugio.

Para realizar la simulación numérica del maremoto se utiliza el modelo TUNAMI, en su versión no-lineal y en coordenadas esféricas con 4 grillas anidadas. Este modelo proporciona las zonas de inundación así como parámetros importantes tales como el tiempo de arribo y la máxima altura de la ola en línea de costa, así como un mareograma simulado en una ubicación determinada.

El Instituto Nacional de Defensa Civil en coordinación con las municipalidades correspondientes, determina las rutas de evacuación y zonas de refugio.

REFERENCIAS

[1] Imamura, F. Review of Tsunami Simulation with a Finite Difference Method. Long Waves Runup Models. World Scientific Publishing Co. Pte. Ltd. Singapore, 1996.

[2] Jiménez, C.; Moggiano, N.; Mas, E.; Koshimura, S. Seismic source of 1746 Callao earthquake from Tsunami Numerical Modeling. Journal of Disaster Research, Vol 8, No. 2, 2013.

[3] Jiménez, C.; Perlettini, H.; Puma, N.; Moggiano, N.; Ortega, E.; Vernier, P.; Gluski, P.; D'Ercole, R. Estudio de Peligro de Maremoto en Lima y Callao y cartografía de las zonas inundables. Informe Técnico Proyecto SIRAD, 2010.

CIT - C - 021101 - E

